

Septima Clase 17/04

$$H = i; Y = c_i + Z$$

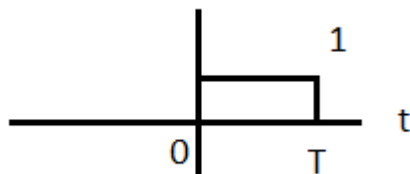
donde $Z \sim N(0, \frac{N_0}{2} I_n)$

Ejemplo 3.7

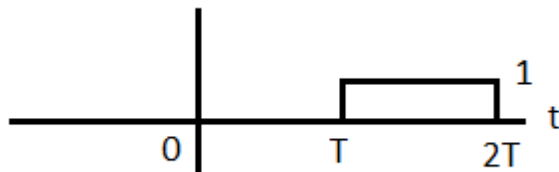
Las siguientes 4 elecciones de $W = \{w_0(t), w_1(t)\}$ comparten el mismo código $C = \{c_0, c_1\}$ con $c_0 = (\sqrt{\epsilon}, 0)^T$ y $c_1 = (0, \sqrt{\epsilon})^T$

Elección 1

$$w_0(t) = \sqrt{\frac{\epsilon}{T}} \quad 1\{t \in [0, T]\}$$



$$w_1(t) = \sqrt{\frac{\epsilon}{T}} \quad 1\{t \in [T, 2T]\}$$



$$\psi_1(t) = \frac{1}{\sqrt{T}}$$

Elección 2: (Frequency Shift Keying [FSK])

$$w_0(t) = \sqrt{\frac{2\epsilon}{T}} \sin(\pi k \frac{t}{T}) \quad 1\{t \in [0, T]\}$$

$$w_1(t) = \sqrt{\frac{2\epsilon}{T}} \sin(\pi l \frac{t}{T}) \quad 1\{t \in [0, T]\}$$

$$w_0(t) = \sqrt{\epsilon} \cdot \psi_0(t)$$

$$w_1(t) = \sqrt{\varepsilon} \cdot \psi_1(t)$$

■ En todas estas configuraciones la probabilidad de error es la misma.

Elección 3: (Sinc pulse position modulation)

$$w_0(t) = \sqrt{\frac{\varepsilon}{T}} \operatorname{sinc}\left(\frac{t}{T}\right)$$

$$\operatorname{sinc}(t/T) = 0 \rightarrow t/T = \pi kt/T$$

$$w_1(t) = \sqrt{\frac{\varepsilon}{T}} \operatorname{sinc}\left(\frac{t-T}{T}\right)$$

Elección 4: (Spread spectrum)

$$w_0(t) = \sqrt{\varepsilon} \cdot \psi_1(t) \rightarrow \text{con } \psi_1(t) = \sqrt{\frac{1}{T}} \sum_{j=1}^n s_{0,j} \quad \mathbb{1}\{t - j\frac{T}{n} \in [0, \frac{T}{n}]\}$$

$$w_1(t) = \sqrt{\varepsilon} \cdot \psi_2(t) \rightarrow \text{con } \psi_1(t) = \sqrt{\frac{1}{T}} \sum_{j=1}^n s_{1,j} \quad \mathbb{1}\{t - j\frac{T}{n} \in [0, \frac{T}{n}]\}$$

donde s son códigos de expansión ortogonales. s_0, s_1, \dots modifican la altura de los cuadrados.

$$P_e\left(\frac{\|c_1 - c_0\|}{2\sigma}\right)$$

Ejemplo 3.9

PSK (QPSK)

$$w_i(t) = \sqrt{\frac{2\varepsilon}{T}} \cos\left(2\pi f_c t + \frac{2\pi}{m} i\right) \mathbb{1}\{t \in [0, T]\}, \quad i = 0, 1, \dots, m-1.$$

$$w_i(t) = c_{i,1} \psi_1(t) + c_{i,2} \psi_2(t),$$

donde:

$$c_{i,1} = \sqrt{\varepsilon} \cos\left(\frac{2\pi i}{m}\right), \quad \psi_1(t) = \sqrt{\frac{2}{T}} \cos(2\pi f_c t) \mathbb{1}\{t \in [0, T]\},$$

$$c_{i,2} = \sqrt{\varepsilon} \sin\left(\frac{2\pi i}{m}\right), \quad \psi_2(t) = -\sqrt{\frac{2}{T}} \sin(2\pi f_c t) \mathbb{1}\{t \in [0, T]\}.$$

Generalización y estructuras alternativas de receptor

$Y = (Y_1, Y_2, \dots, Y_n)^T$ donde

$$Y_i = \langle R, \psi_i \rangle, i = 1, \dots, n.$$

$$f_{Y|H}(y|i) = \frac{1}{(2\pi\sigma^2)^{\frac{n}{2}}} \exp\left(-\frac{\|y - c_i\|^2}{2\sigma^2}\right)$$

$$\text{MAP: } \arg \max_i P_H(i) \cdot f_{Y|H}(y|i)$$

$$\arg \max_i \left[\ln P_H(i) + -\frac{\|y - c_i\|^2}{2\sigma^2} \right]$$

$$\min[\|y - c_i\|^2 - \ln P_H(i)]$$

$$\begin{aligned} \langle y, c_i \rangle &= \sum y_i \cdot c_{i,j} = \sum_j \int r(t) \cdot \psi_j(t) \cdot c_{i,j} dt = \\ &= \int r(t) \sum c_{i,j} \psi_j(t) dt = \end{aligned}$$

$$\{ \|y - c_0\|^2 - N_0 \cdot \ln P_H(0) \}_{H=0}^{H=1} \text{ Corregir}$$

Las señales son ortogonales, las bases son ortonormales y las palabras código son ortogonales.

Código Raíz Coseno Realizado:

```
import numpy as np

def rrcosfilter(t, beta, Ts, iT):
    return 1/np.sqrt(Ts) * np.sinc((t-iT)/Ts) * np.cos(np.pi*

def raiz_coseno_realizado(simbolos, Beta, T, tt):
    sum_sig = 0
    signal = []

    for i in range(len(simbolos)):
        signal.append(simbolos[i]*rrcosfilter(tt, Beta, T, iT))
        sum_sig = sum_sig + signal[i]
        #plt.plot(tt, output[i])
    return sum_sig, signal
```